

I-105 矩形断面梁のねじれ強度について

東京大学 正員 奥村敏恵
宮地鉄工 森下光政
富士製鉄 ○佐伯晃一

1. まえがき

薄肉角柱の捩り破損形式には2種あり、その一つの形式は柱の捩りのために生ずる法線せん断応力によて破損するもの、他の一つの形式は断面に分布するせん断応力によてせん断塑屈を生じ、以後不完全張力場を形成して破損するところが報告されている。
⁽¹⁾⁽²⁾⁽³⁾

昨年の島田氏のレポートに引き続き、溶接構造矩形柱について、今回はコルテン鋼を用いて、実験を行った結果についての目次を得たので報告を行ふ。

2. 破損形式について

捩れ角が大きくなると従つて、法線せん断応力は増大し、断面は次第に弯曲する。この壁面の弯曲の過程で破損形式が2種存在することが認められた。その一例を第一回と示す。

その一つは、隅角部が塑性領域に入ると(第2回で見られるように中央部よりも早く塑性域に入る。)

塑性ヒンジの如くなり、壁板はせん断力を受ける弯曲板としての扱いを失って、張力場を形成して塑屈する。他の一つは塑性率の各々の方角で差があるために張力場を形成するに至らず、弯曲したままの状態で剛性を失なってしまう。この境界は 渡谷氏⁽¹⁾が求めているよじく

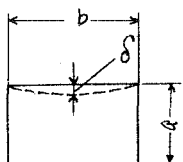
$$\text{壁板巾/板厚} = 62$$

附近に生ずる。

- (1) 渡谷義 薄肉角柱の捩りに対する不安定現象の限界について。
日本機械学会誌 S16. 5月.
- (2) 池田健 捣りに対する非円形中空構の破損に就て。
日本機械学会誌 S15. 5月.
- (3) 長柱委員会 弾性係数を覽 コロナ社.

第一回
壁板の撓み履歴図

A



断面図

-2.0 -1.6 -1.2 -0.8 -0.4 0 0.4 0.8 1.2

	b/h
A	0.414
B	0.58

M_t (t-m)

28.0

14.0

0

0.4

0.8

1.2

B

δ (mm)

第2回 撓りによる壁板の
応力分布 説明図

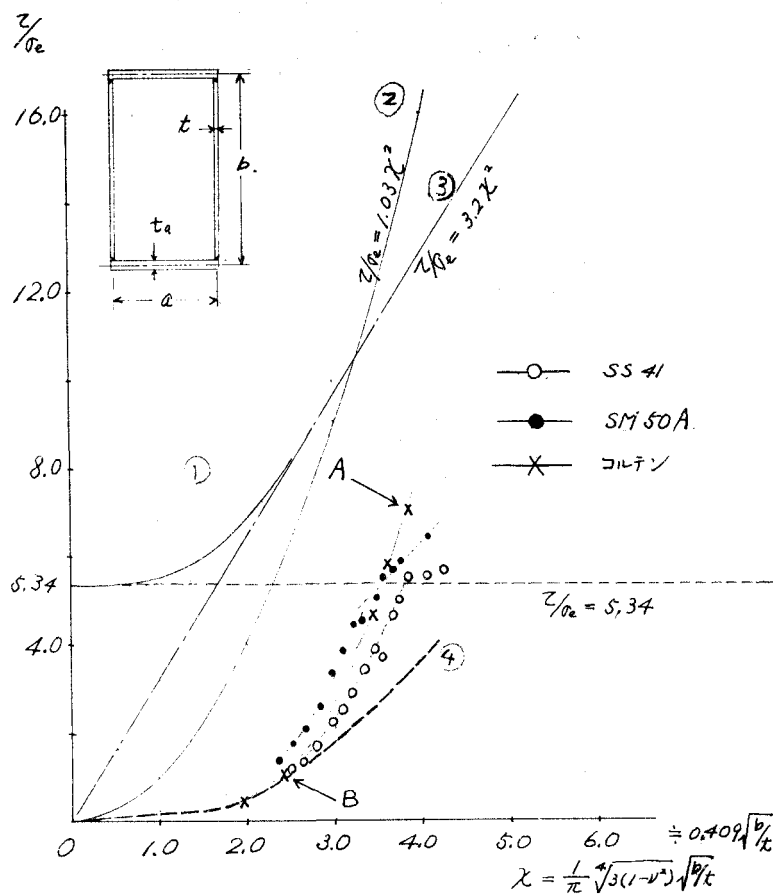
● 45° 方向
× 周方向
△ 長手方向

3. 実験結果

第2図は壁板が拘束され
ていく過程を示したもの
である。第3図は試験結
果を取りまとめたもので
、SS41, SM50A, に
ついては島田氏の行な
った試験データを借用し
た。ここで軸に塑屈係数
 γ_{re} 、横軸に

$$X = \frac{1}{\pi} \sqrt{3(1-\nu^2)} \sqrt{b/t}$$

を用いた。図中の曲線①
は Kromm⁽⁴⁾の解いた弾性
板の塑屈値で ③はその
漸近線である。曲線②は
壁板が塑性変形を行な
うとした時に剛性が零
となるとして求めた値
である。しかし実際には
塑性領域でこの現象が生
ずるので、 $E_t/E = 0.413$
ホアソン比 = 0.5 として
求めたのが曲線④である



第3回

4. 結論

a) 弹性塑屈範囲で理論値との差が大きいのは [b] 板を拘束している板 ([a] 壁板) の影響と思われる。第3回についてみると SM50A とコルテンは降伏点が同じにもかかわらずコルテンが上方にあるのは t_a がコルテンでは $t_a = 16\text{mm}$, SM50A では $t_a = t = 6\text{mm}$ であるために壁板の曲げ剛度が大きいため、張力場を維持しやすく、耐力が上昇することになる。SS41, SM50A にて $\gamma_{\text{re}} = 5.34$ 附近にあるが、これは隅角部が自由端であると解釈しやすく、矩形板として計算してもよい。

b) 塑性塑屈範囲 ($\gamma_{\text{re}} < 5.34$) でも壁板の imperfection のために塑性域に達する以前に塑屈が開始されると弾性塑屈モードと同じようにして張力場(不完全)を形成して塑屈する。この限界の目安は $X = 3.2$ あたりである。又塑性場合 $E_t/E = 0.41$ が最適であると思われる。

(4) A. Kromm. Die Stabilitätsgrenze eines gekrümmten Plattenstreifens bei Beanspruchung durch Schub- und Längskräfte. Lufto, 1938.